

Système de symboles cohérents en topographie

Lexique topographique

Introduction

Le n° 23 de juin 1985 de XYZ comportait un article de MM. Brabant et d'Hollander intitulé : "Normalisation des termes et des symboles utilisés en topographie". Les auteurs y faisaient état des travaux de la commission d'enseignement de l'AFT en matière de définitions et de symbolisation ; ils signalaient notamment l'élaboration d'un "**système de symbole cohérents en topographie**", qui ne constitue qu'une partie du travail de la commission.

Toute personne intéressée par la question pouvait demander au secrétariat de l'AFT la communication de la minute préparatoire du **système de symboles**. Suite à plusieurs observations des retouches y ont été apportées et la commission d'enseignement a examiné dans sa séance du 25 mars 1987, le tableau remanié ; elle a décidé :

- d'une part d'adopter provisoirement les propositions faites ;
- d'autre part de faire paraître dans XYZ le **système de symboles**.

Par ailleurs le conseil de l'AFT a décidé dans sa séance du 12 janvier 1988 de publier dans XYZ le lexique topographique dont l'informatisation est actuellement terminée.

En publiant le **système de symboles cohérents** avant le lexique, la commission d'enseignement de l'AFT souhaite déjà sensibiliser les membres de l'Association et les enseignants de topographie à cette question importante du langage technique de la profession et provoquer remarques et suggestions ; celles-ci seront les bienvenues. Prière de les adresser au secrétariat de l'AFT, 140, rue de Grenelle, 75700 Paris.

Lexique topographique (Liste des chapitres)

- 1 — Données de base
- 2 — Mesure des distances
- 3 — Mesure des angles
- 4 — Mesure des altitudes
- 5 — Canevas
- 6 — Cadastre
- 7 — Levé tachéométrique
- 8 — Levé planchette
- 9 — Information topographique
- 10 — Calculs
- 11 — Représentation cartographique
- 12 — Photogrammétrie

Système de symboles cohérents en topographie

Propositions adoptées par la commission d'enseignement de l'AFT le 25 mars 1987

① DESIGNATIONS RELATIVES A DES POINTS, DES AXES, DES DIRECTIONS, DIVERS

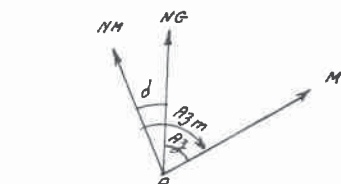
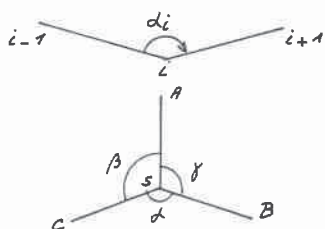
Points connus	A. B. C. D. E. F
Points à déterminer	M. P. Q. T. U. V
Point approché	M_0
Point nodal	N
Repère ou point de repère	R
Référence	Ref
Points de station	S. S_1 . S_2 . S_3
Points de détails rayonnés ou jetés	J_1 . J_2 . J_3 ... ou M_1 . M_2 . M_3
Axe principal de pivotement d'un goniomètre	(P)

Axe secondaire de basculement (ou des tourbillons)	(T)
Axe de visée de lunette topographique *	(V)
Axe de révolution d'une lunette de niveau à double visée	(G)
Croisée du réticule	CR
Direction de l'horizontale	(H)
Zenith, Nadir	Zen, Nad
* L'appellation axe optique doit être réservée à l'axe d'un système centré	
Directrice d'une nivelle	(D)
Graduation centrale d'une nivelle	C (grand c)
Défaut de collimation horizontale (défaut de perpendicularité de V et de T)	c (petit c)
Défaut de tourbillonnement (défaut de perpendicularité de T et de P)	t
Nord géographique, Nord magnétique	NG, NM

② DESIGNATIONS RELATIVES AUX ANGLES HORIZONTAUX

(sens de rotation des aiguilles d'une montre)

Cercle à gauche, Cercle à droite	CG, CD ou indices G et D
Lectures azimutales	L
" " CG et CD	LG . LD
Lecture azimutale relative à la direction AM	LA ou LAM
" " SA	LA ou LSA
Lecture azimutale de départ	Ld
Lecture azimutale de fermeture	LF
Angle horizontal ou azimutal	d ou A
Angles d'un relèvement sur 3 points B, C, A	α, β, γ ou $\hat{A}, \hat{B}, \hat{C}$
Azimut géographique (à partir du Nord)	Az
Azimut géographique de \vec{AM}	Az AM
Azimut magnétique de \vec{AM} , à partir du Nord magnétique	Azm AM



Angle de déclinaison magnétique
Angle de déclinaison magnétique rapporté au quadrillage

d
 d'

$$A_{\text{jm}} \text{AM} = A_{\text{z}} \text{AM} + d$$

Gisement

G ou V

Gisement de AM

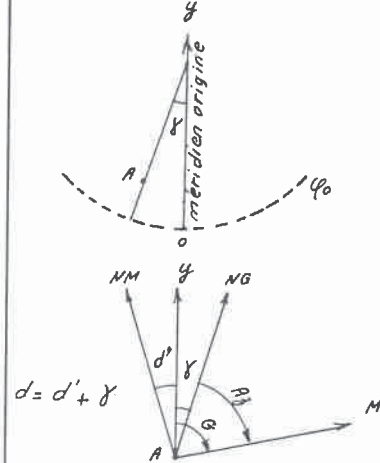
G_{AM} ou V_{AM}

Correction de réduction à la corde (dans un système de projection)

r_c

Convergence du méridien d'un lieu avec le méridien origine

γ



Gisement de départ calculé (à partir des coordonnées)

G_d

Gisement de fermeture calculé (à partir des coordonnées)

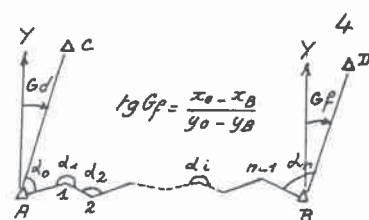
G_f

Gisement de fermeture obtenu à partir des observations

G'_f

Gisement du zéro du limbe pour une direction d'observation

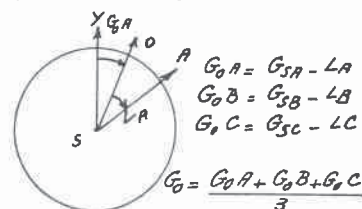
$G_0 A$ ou $G_{\phi A}$



$$G'_f = G_d + n \cdot 200 \text{ gr} + \sum d_i$$

Gisement du zéro du limbe d'un tour d'horizon ou G_0 moyen

G_0



Angle parallactique

d_p ou \hat{A}_p

$$Dh = (\cot \frac{d_p}{2})^m$$

Angle stadiométrique

d_s ou \hat{A}_s

$$d_s = \frac{1}{100} \text{ rd en général}$$

Ecart de fermeture angulaire d'un cheminement

f_a

$$f_a = G'_f - G_f$$

Sensibilité d'une visée d'intersection

s

$$s_{\text{cm}} = 0,157 D^{\text{km}}$$

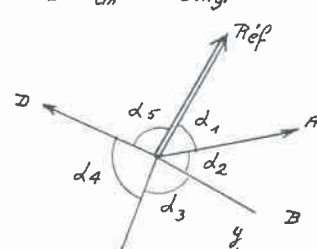
Déplacement d'une visée d'intersection

d

$$d_{\text{cm}} = s_{\text{cm}} \cdot dG \text{ dmgr}$$

Angles d'un relevement sur 4 points et plus

d_1, d_2, \dots ou $\hat{A}_1, \hat{A}_2, \dots$

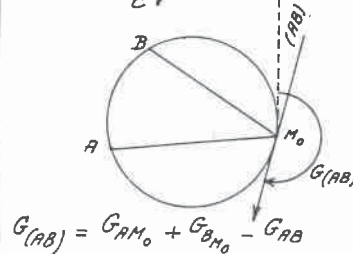


Segment capable relatif à AB

(AB)

Gisement du segment capable

$G_{(AB)}$

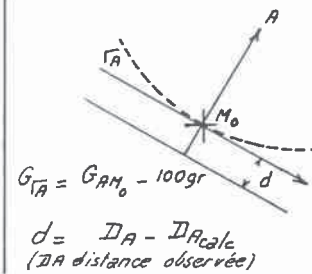


$$G_{(AB)} = G_{AM_0} + G_{BM_0} - G_{AB}$$

Variation de gisement	dG
Variation d'un angle de relèvement (méthode de Hatt)	dd_i
Distance fictive d'un segment capable	$Df_{(AB)}$
Segment distance relatif à A	Γ_A
Gisement du segment distance (dans une multilateration)	$G\Gamma_A$
Déplacement d'un segment distance (dans une multilateration)	d

$$dd_i = d_i - d_{i\text{ calc}} \quad (d_i \text{ angle observé})$$

$$Df_{(AB)} = \frac{D_A \cdot D_B}{D_{AB}}$$



$$d = D_A - D_{A\text{ calc}} \quad (D_A \text{ distance observée})$$

③ DESIGNATIONS RELATIVES AUX DISTANCES

Distances SA, SB, AB en général
en projection

D_A, D_B, D_{AB}

Distance stadiométrique

D_s

Lectures sur traits stadiométriques

m_1, m_2

Lecture sur le trait médian

m

Distance selon la pente du terrain

D_p

Distance inclinée

D_i

Distance réduite à l'horizon ou
Distance horizontale

D_h

Distance réduite à l'horizon du
point de station

D_h_A

Distance réduite à l'horizon du
point I d'altitude moyenne
entre A et M

$D_h(AM)$

Distance réduite à l'ellipsoïde

D_o

Distance réduite à la projection

D_r

Rayon de courbure d'une section
normale de l'ellipsoïde

R_N

Longueur de base mesurée avant
correction d'étalonnage

B

Longueur d'étalonnage de la base

B_e

Constante d'addition (correction
dans les mesures aux distancemètres)

C_A

Correction atmosphérique (de température
de pression pour les distancemètres)

C_a

Module d'étalonnage pour un ruban
à la température 20°

$$m_E = \frac{B_e}{B}$$

B, L mesurés ou ramenés
à la température de 20°

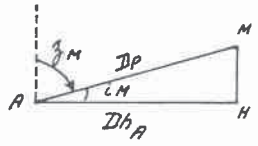
Coefficient d'étalonnage pour un
ruban à la température 20°

$$\kappa_E = \frac{m_E - 1}{B_e - B}$$

Correction d'étalonnage

$$c_E = \kappa_E \cdot L$$

Distance courte
(inférieure à 500m)

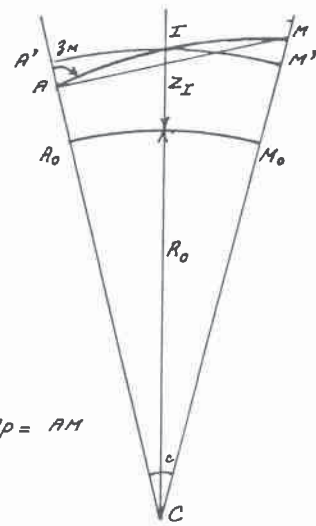


$$Dh_A = D_p \sin z_M$$

$$Dh_A = D_p \cos i_M$$

$$D_o \approx Dh \quad (\text{sauf exception})$$

Distance de longueur moyenne
(entre 500 et 1500m)



$$Z_I = \frac{z_A + z_M}{2} \quad \text{ou}$$

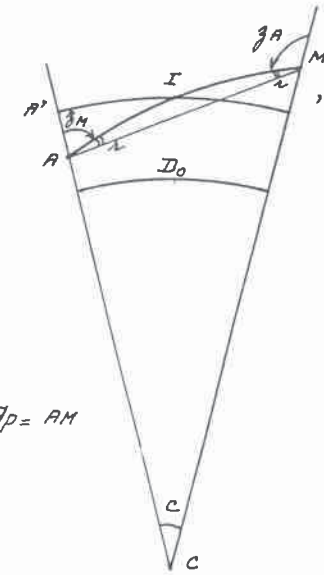
$$Z_I = Z_A + \frac{D_p}{2} \sin z_M \quad (\text{formule approchée mais suffisante})$$

$$RI = R_o + Z_I = \frac{R_A + R_M}{2}$$

$$Dh_{AM} = A'M' = D_p \sin z_M$$

$$D_o = Dh_{AM} \frac{R_o}{RI} = Dh_{AM} \left(1 - \frac{Z_I}{R_o}\right)$$

Distance supérieure à 1500m



$$D_p = AM$$

$$z'_M = z_M + n \quad z'_A = z_A + n$$

$$Z_I = \frac{z_A + z_M}{2} \quad \Delta Z = Z_M - Z_A \quad (\text{voir §7 Altimétrie})$$

$$D_o^2 = D_p^2 \frac{1 - \left(\frac{\Delta Z}{D_p}\right)^2}{\left(1 + \frac{Z_A}{R_o}\right) \left(1 + \frac{Z_M}{R_o}\right)}$$

$$Dh_{AM} = D_o \left(1 + \frac{Z_I}{R_o}\right)$$

④ REDUCTION DES DISTANCES DE LONGUEUR MOYENNE(*)

Soit une distance $D_p = AM$ mesurée avec un distancemètre, l'angle zénithale observé en A sur M est z_M , l'altitude de A est Z_A .

Les opérations de réductions décrites dans le tableau (page 7) utilisent les notions de module, coefficient, correction qu'il y a lieu de définir.

- On appelle module m un multiplicateur voisin de 1 permettant d'obtenir la distance corrigée ou réduite D' (ligne i) à partir de la distance précédente D (ligne $i-1$)

$$m = \frac{D'}{D}$$

$$\boxed{① D' = m D}$$

ce module peut être supérieur ou inférieur à 1

On appelle correction c la quantité à ajouter à la distance D pour obtenir la distance D' . Cette correction peut être positive ou négative

$$\boxed{② D' = D + c}$$

$$\text{ou } c = D' - D$$

On appelle coefficient de réduction le quotient de la correction par la distance $k = \frac{c}{D}$ $c = kD$

En remplaçant dans ② et en comparant à ④ $m = 1 + k$

Dans certains cas c'est le module qui est directement accessible (lignes 2 et 3 du tableau), dans les autres cas c'est le coefficient (lignes 4 et 5)

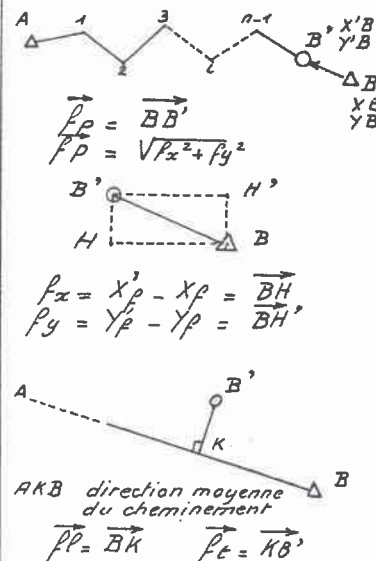
La distance corrigée D' peut être calculée de deux manières : formule ④ ou formule ② qui a l'avantage de mettre en évidence la correction et son signe.

(*) Dans le cas de distances supérieures à 1500", calculer directement D_0 en fonction de D_p (voir §3)

1 Module, coefficient correction Distances successives	2 Module m lignes 4 et 5 $m = 1 + k$	3 $D' = m D$	4 coefficient k lignes 2 et 3 $k = m - 1$	5 correction c $c = k D'$	6 $D' = D + c$	7 Observations
1 D_p , distance mesurée selon la pente ayant subi les corrections : atmosphérique et constante	/	/	/	/	/	/
2 $D_{p\text{cor}}$ distance selon la pente, corrigée du défaut d'étalonnage du distancemètre	module d'étalonnage $m_E = \frac{B_E}{B}$	$D_{p\text{cor}} = m_E D_p$	coefficient d'étalonnage $k_E = m_E - 1$	correction d'étalonnage $C_E = k_E D_p$	$D_{p\text{cor}} = D_p + C_E$	module d'étalonnage appelé aussi coefficient d'échelle (éviter ce terme) me supérieur ou égal à 1 kE positif ou négatif
3 D_h distance réduite à l'horizon du point d'altitude moyenne	module de réduction à l'horizon $m_h = \frac{D_h}{D_{p\text{cor}}} = \sin z_m$	$D_h = m_h \cdot D_{p\text{cor}}$	coefficient de réduction à l'horizon $k_h = m_h - 1$	correction de réduction à l'horizon $C_h = k_h \cdot D_{p\text{cor}}$	$D_h = D_p + C_h$	m_h toujours inférieur à 1 k_h toujours négatif
4 D_0 distance réduite à l'ellipsoïde	module de réduction au niveau zéro $m_0 = \frac{D_0}{D_h}$	$D_0 = m_0 D_h$	coefficient de réduction au niveau zéro $k_0 = m_0 - 1 = -\frac{z_e}{R_0}$	correction de réduction au niveau zéro $C_0 = k_0 D_h$	$D_0 = D_h + C_0$	$z_e = \frac{z_A + z_m}{2}$ m_0 toujours inférieur à 1 R_0 toujours négatif
5 D_r distance réduite à la projection	module de réduction à la projection préférable à échelle locale $m_r = \frac{D_r}{D_0} = 1 + k_r$	$D_r = m_r D_0$	coefficient d'altération des longueurs due à la projection $k_r = m \times 10^{-5}$ ou $k_r = m \text{ cm/km}$	correction d'altération des longueurs due à la projection $C_r = k_r D_0$	$D_r = D_0 + C_r$	k_r donné par des tables, ou calculé, positif ou négatif
6 pour mémoire : module de réduction d'échelle dans le système de projection Lambert France (I, II, III)	$R_{0(r)} = m_L R_0$	/	/	/	/	Ce module est appelé "coefficient de réduction d'échelle" et désigné par K_0 dans les documents IGN. $m_L = 1 - \frac{12}{10^5}$ pour Lambert France (I, II, III)
$m_L = \frac{\text{rayon du parallèle origine en projection } R_{0(r)}}{\text{apothème du cône tangent } R_0}$	$R_{0(r)}$ est aussi appelé R_0 réduit					

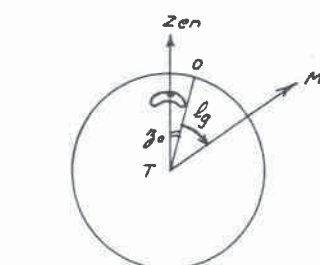
⑤ DESIGNATIONS RELATIVES AUX COORDONNEES

Coordonnées rectangulaires dans un système national	X	Y
" " de M	X_M	Y_M
Coordonnées d'un point approché M_0	X_0	Y_0
Déférence de coordonnées dans ce système	ΔX	ΔY
" " entre $AetM$	ou ΔX	ΔY
	ΔX_{AM}	ΔY_{AM}
Coordonnées rectangulaires dans un système local	x	y
" " de M	x_M	y_M
Déférence de coordonnées dans ce système local	Δ_x	Δ_y ou Δ_x
" " entre $AetM$	Δx_{AM}	Δy_{AM}
Coordonnées de départ connues	X_d	Y_d
Coordonnées de fermeture connues	X_p	Y_p
Coordonnées de fermeture calculées (obtenues à partir des observations)	X'_p	Y'_p
ou X_{calc}	Y_{calc}	
Ecart de fermeture planimétrique	$\overline{P_p}$	
Tolérance de fermeture planimétrique	T_p	
Ecart de fermeture en abscisse, en ordonnée	f_x	f_y
Ecart de fermeture longitudinal	$\overline{f_e}$	
Tolérance de fermeture longitudinale	T_e	
Ecart de fermeture transversal	$\overline{f_t}$	
Tolérance de fermeture transversale	T_t	



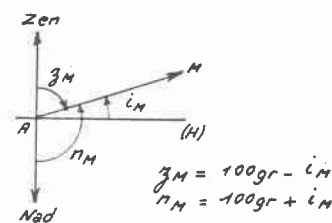
⑥ DESIGNATION DES ANGLES VERTICAUX ET DES PENTES

Cercle à gauche, cercle à droite	CG	CD
ou indices g, d		
Lectures d'angles verticaux	lg	ld
Lectures de pente CG et CD	pg	pd
Angle zénithal (préférable à distance zénithale)	z	
Angle zénithal relatif à M (point visé)	z_M	
Erreur d'index de limbe vertical	-30	
Correction d'index de limbe vertical	$+30$	
Angle nadiral (préférable à distance nadirale)	n	
Angle d'inclinaison ou angle de site positif si visée ascendante, négatif si visée descendante	i	
Angle de site relatif à M (point visé)	i_M	



$$z_M = lg + z_0$$

$$lg + ld = 400 - 2z_0$$

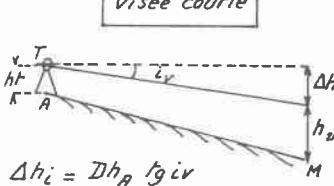
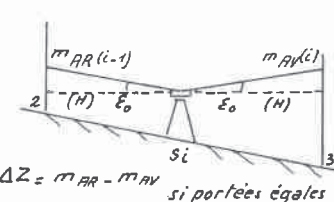


$$z_M = 100gr - i_M$$

$$n_M = 100gr + i_M$$

Angle de réfraction	r	(voir fig page 6)
Angle zénithal corrigé de la réfraction	β'_M	$\beta'_M = \beta_M + r$ (voir fig page 6)
Angle d'inclinaison corrigé de la réfraction	i'_M	$i'_M = i_M - r$ (voir fig page 6)
Angle de convergence de deux verticales de deux points	c	(voir fig page 6)
Pente	p	$p = \operatorname{tg} i$
Pente relative à M (point visé)	p_M	$p = \frac{p_g + p_d}{2}$

⑦ DESIGNATIONS RELATIVES A L'ALTIMETRIE

Hauteur au dessus ou au dessous du plan de référence ou au dessus du sol	$h_A, -h_A$	
Hauteur de M	h_M	
Déférence de hauteur	Δh ou dh	$\Delta h_i = Dh_A \operatorname{tg} i$ $Z_M = Z_A + h_t - \Delta h_i - h_o$ En général $h_v = h_t$
" " entre A et M	$\Delta h_{(AM)}$	
Hauteur de l'axe secondaire de basculement au dessus du sol	ht	
Hauteur de voyant ou de visée surmire ou de prisme au dessus du sol	h_v	
Dénivelée instrumentale	Δh_i ou dhi	
Altitude dans un système national (altitudes normales IGN 69)	Z	
Altitude dans un autre système	H	
Altitude de M	Z_M, H_M	
- Altitudes de départ, de fermeture connues	Z_d, Z_p H_d, H_p	$\Delta Z_{AM} = Dh_{AM} \operatorname{tg} \frac{\beta_A - \beta_M}{2}$ avec $Dh_{AM} = D_0 \left(1 + \frac{2Z}{R_0}\right)$
Dénivelée ou différence d'altitude	ΔZ ou dZ	
Dénivelée entre A et M	$\Delta Z_{(AM)}$	
correction de niveau apparent	n_a	
Altitude de fermeture obtenue à partir des observations	Z'_p H'_p	
Altitude de l'axe secondaire de basculement	Z_t	
Nivellement direct ou géométrique	ND	
Lectures surmire en nivellment direct (lecture arrière, lecture avant)	m_{AR}, m_{AV}	$Z'_p = Z_d + \sum \Delta Z_i$
Défaut d'horizontalité de la visée d'un niveau	$+E_o$ ou e_o	
Correction de non horizontalité de la visée (éviter correction de collimation verticale)	$-E_o$ ou $-e_o$	

Ecart de fermeture altimétrique	f_z	$f_z = z'_p - z_p$
Correction de fermeture altimétrique	c_z	$c_z = -f_z$
Tolérance de fermeture altimétrique	T_z	

⑧ DESIGNATIONS RELATIVES AUX OBSERVATIONS ASTRONOMIQUES

Respecter dans la mesure du possible les conventions de la connaissance des temps nouvelle formule sauf exceptions ci-après

Déclinaison d'un astre	δ ou d	
Ascension droite d'un astre	α ou AR	
Longitude	λ ou $Long$	
Longitude de M	λ_M ou $Long_M$	
Latitude	φ ou Lat	
Latitude de M	φ_M ou Lat_M	
Angle horaire	H	
Temps sidéral	T	
Temps universel	UT	
Parallaxe	de préférence à P	
Demi diamètre apparent	d	
Obliguité de l'écliptique	E ou Ecl	
Point vernal	γ ou VER	
Relatif au méridien international (de Greenwich)	G en indice	
exemple: Temps sidéral de Greenwich	T_G	
Angle de réfraction	r de préférence à R	
Distance zénithale observée	z de préférence à ζ	
Distance zénithale corrigée de la réfraction	z' de préférence à z	
Hauteur ou angle d'inclinaison d'un astre	i de préférence à γ et h	
Déviation de la verticale	θ ou Dev	
Longitude, Latitude astronomique	λ_a , φ_a	
Longitude, Latitude géodésique	λ_g , φ_g	
Composantes de la déviation de la verticale		
- dans le plan méridien	$\bar{\gamma} = \varphi_a - \varphi_g$	
- dans le plan Est. Ouest	$\gamma = (\lambda_a - \lambda_g) \cos \varphi$	

⑨ CALCULS, ERREURS

	(1)	(2)
Quantité observée	$\overline{D}, \overline{G}, \overline{d}, \overline{A_2}$	D, G, d, A_2
Quantité calculée	D, G, d, A_2	$D_{\text{calc}}, G_{\text{calc}}, d_{\text{calc}}, A_2_{\text{calc}}$
Incertitude absolue sur mesure de D	ΔD ou dD	$D \pm \Delta D$
Incertitude relative à $x\%$ près		$D \pm (D x/100)$
Moyenne arithmétique (par exemple de n distances mesurées)	indice m	
Ecart	u_i ou e_i	$u_i = D_i - D_m$
Ecart type	σ ou s	
Ecart type relatif aux distances ,, aux sites	$\frac{\sigma_D}{D} \quad \frac{s_D}{D}$	$\sigma_D = \sqrt{\frac{\sum u_i^2}{n-1}}, n$ petit
Ecart équiprobable	ϵ_p ou ϵ_P	à la probabilité $1/2$ d'être dépassé en valeur absolue
Ecart équiprobable relatif aux distances	$\epsilon_p(D) \quad \epsilon_P(D)$	
Ecart maximum	$E_m \quad e_m$	$E_m = 4\epsilon_p$, à la probabilité $1/100$ d'être dépassé en valeur absolue
Tolérance	T	
Moyenne arithmétique de deux mesures de sites direct et inverse dans une portée AM	i_m	$ i_m = \frac{ i_A + i_M }{2}$ signe du site direct i_A
Poids	P	$P = \frac{K}{\sigma^2} = \frac{K'}{T^2}$
Moyenne pondérée, par exemple d'altitudes d'une intersection		$\overline{Z_m} = \frac{P_1 Z_{m_1} + P_2 Z_{m_2} + P_3 Z_{m_3}}{P_1 + P_2 + P_3}$
Résidu		$r_i = Z_{m_i} - Z_m$ ou $Z_{m_i} - \overline{Z_m}$
Intervalle de confiance d'une moyenne, par exemple de mesures de distances		$D_m - E_m \leq D \leq D_m + E_m$ à 99% $E_m = K \sigma_m, \quad \sigma_m = \frac{\sigma}{\sqrt{n}}$ K fonction du nombre de mesures pris dans les tables de Student et Fisher

- (1) à utiliser lorsqu'il ya prédominance de quantités calculées.
 (2) à utiliser lorsqu'il ya prédominance de quantités observées.